

複合地盤の圧密現下特性

愛媛大学 工学部 正 室 達朗
愛媛大学 工学部 正 橋 明潔
豊橋市役所 正〇三浦邦元

1. まえがき 本研究では、サンドコンパクションパイル工法による複合地盤の特性のうち、圧密現下量の低減とその機構について調べる。

2. 実験方法 複合地盤圧密試験 図-1に示す圧密箱を使用した。

この特徴は、加圧板内に装着されたロードセルにより砂杭上にかかる荷重を測定でき、全荷重から砂杭上の荷重を引くことによて、粘土上の荷重を算出することができる。この試験機により初期圧密荷重 P_0 で飽和粘土を圧密する。圧密終了後、粘土穿孔用パイプで供試体中央を穿孔し、ここへ飽和砂を入れる。このように形成した複合地盤供試体にて圧密試験を行なう。実験条件としては、表-1に示すように砂杭の直径 d 、粘土の初期圧密荷重 P_0 、砂杭の開けきの状態の組み合わせによって16種類の実験を行なう。ただし供試体の直径は 6cm 一定、高さは約 7cm である。

粘土の等方 異方圧密試験 砂杭周辺の粘土の圧密特性を調べるために、三軸圧縮試験機により $\sigma_3/\sigma_0 = 1, 1.5, 2, 2.5, 3$ で圧密試験を行ない、 $e - \log \sigma_m$ 関係を求める。

砂の排水三軸圧縮試験 砂杭の特性を調べるために、ゆるい砂 ($e \approx 0.8$)、

密有砂 ($e \approx 0.63$) において、側圧 $\sigma_3 = 0.5, 1, 2 \text{ kg/cm}^2$ での $\epsilon \sim \sigma_3$ の関係を求める。

使用した粘土は、高知県日高村にて採取した粘土（比重 2.77、液性限界 39.0%、塑性限界 26.3%、有効内部摩擦角 $\phi'_c = 32.8^\circ$ ）で、砂は豊浦標準砂（比重 2.65）である。

3 実験結果と考察 図-2、図-3に示すように置換率 $A_s = A_s/(A_s + A_c)$ 、応力集中率 $n = \sigma_s/\sigma_0$ によって定義する。複合地盤の一次元圧密に対する圧密ひずみの計算法は従来の計算法に砂杭の体積変化とそれに伴う断面積変化を考慮し、次式を用いた。

$$\epsilon' = \frac{C_c}{1+e_0} \log \frac{P}{P_0} - \frac{C_c}{1+e_0} \log \left\{ \frac{(n-1)(1+\Delta V/V) A_{so}}{1-\epsilon'} + 1 \right\} \quad (1)$$

ここで e_0 は粘土の初期開けき比、 C_c は圧縮指指数、 $\Delta V/V$ は軸ひずみ ϵ' に対応した砂杭の体積変化、 A_{so} は初期置換率である。

複合地盤の圧密ひずみ $\phi 4\text{cm}$ の圧密試験による $\epsilon \sim P$ の関係を前期の ϵ' （砂杭の体積 $\pm 5\%$ 膨張、断面積変化）とともに図-4に示す。これから実際のひずみは ϵ' に比べ非常に小さな値をとり、ひずみの低減効果は砂杭の密なもの、 A_s の大きいものほど大きいこと。また、 P_0 大きいものの方がひずみとは多少小さく、その勾配は圧密圧力 P の増加とともに比較的の勾配に近づくことが判明した。

砂の応力-ひずみ特性による影響 $\phi 4\text{cm}$ の試験による各圧密段階終了時の ϵ への関係を図-5に示す。ゆるい砂杭の場合の値は一般的に小さく、圧密段階の進行に伴い徐々に大きくなつていいく。密な砂杭の場合の値は最初の圧密段階でピークに達し、その後徐々に小さくなる。两者とも最終圧密段階での値は $3 \sim 4$ 度に近

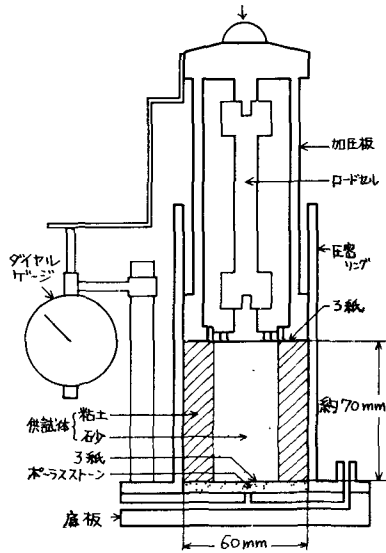


図-1 複合地盤の圧密箱

| | | | (kg/cm ²) |
|----|--|--|--|
| 外径 | φ3.5cm | φ2.9cm | φ1.6cm |
| 側圧 | $\sigma_3 = 0.5, 1, 2 \text{ kg/cm}^2$ | $\sigma_3 = 0.4, 0.6, 0.8 \text{ kg/cm}^2$ | $\sigma_3 = 0.4 \text{ kg/cm}^2$ |
| 側壁 | A ₁ , B ₁ , C ₁ | A ₂ , B ₂ , C ₂ | A ₃ , B ₃ , C ₃ |
| 底板 | A ₁ , B ₁ , C ₁ | A ₂ , B ₂ , C ₂ | A ₃ , B ₃ , C ₃ |
| | | | |
| 外径 | φ2.5cm | φ1.7cm | φ0.9cm |
| 側圧 | $\sigma_3 = 0.1, 0.4 \text{ kg/cm}^2$ | $\sigma_3 = 0.4 \text{ kg/cm}^2$ | $\sigma_3 = 0.4 \text{ kg/cm}^2$ |
| 側壁 | D ₁ , E ₁ | D ₂ , E ₂ | D ₃ , E ₃ |
| 底板 | F ₁ , G ₁ | F ₂ , G ₂ | F ₃ , G ₃ |

表-1 実験条件

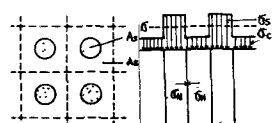


図-2 置換率 図-3 応力集中率

を P を増加させていくばくは一定の値に近づくと思われる。この ϵ ~ σ_m の関係は、砂の ϵ ~ σ_m の関係に非常によく似ており、 ϵ_m の大きい複合地盤の圧密沈下下では、粘土の特性よりも、砂の特性すなわち砂の応力 - ひずみの関係に大きく支配されていくと考えることができる。

複合地盤の粘土の間ヶキビの推定 各圧密段階終了時の粘土の間ヶキビは応力による推定 (e_{stress})、体積変化による推定 (e_{strain}) の二種の観点から推定される。 e_{stress} は、粘土の応力状態を σ_c , σ_H , σ_o の三軸圧縮状態と考え。

$$\sigma_m = \frac{1}{3} (\sigma_c + \sigma_H + \sigma_o) = \frac{1}{3} \left\{ \sigma_c + \sigma_H + \max(\sigma_H, \sigma_c) \cdot \frac{1 - \sin \varphi'_c}{1 + \sin \varphi'_c} \right\} \quad (2)$$

として粘土の等方圧密による e ~ $\log \sigma_m$ 曲線から推定される。ここで σ_c は実測値、 σ_H は実測の σ_c と σ_o から砂の ϵ ~ σ_m の関係によって求められる。 σ_o の推定においては、粘土の変形状態から σ_o を最小主応力であるとし、粘土が塑性状態であると仮定している。またここで、粘土の体積変化におけるせん断力を考慮に入れなかつたのは、試料粘土のダイレイタンシーによる間ヶキビの変化が実用上無視できたためである。 e_{strain} は次の式によつて推定される。

$$e_{strain} = \frac{V_c}{V_{co}} (e_0 + 1) - 1 = \frac{\pi r^2 (1 - \epsilon)}{V_{co}} \cdot \frac{1 - \Delta V/V}{(e_0 + 1) - 1} \quad (3)$$

ここで V_{co} は粘土の初期体積、 V_{so} は砂杭の初期体積、 V は各圧密段階終了時の粘土の体積、 r は複合地盤供試体の半径、 $\Delta V/V$ は砂の ϵ ~ $\Delta V/V$ 関係により求まる。

この二つの推定法による e_{stress} 及び e_{strain} を、実測の粘土の最終間ヶキビ比 e_f とともに図-6に示す。 e_f のほとんどが e_{stress} より少しだけ大きい値を示すことから実際の σ_m は一般に(2)式による推定のものより小さい。なお、応力による推定において σ_o が最小主応力であると仮定したことは適当であると思われる。また e_{strain} の値と e_f との差には、砂杭及び粘土の初期体積の測定における誤差が影響していると考えられる。

4. 結論 複合地盤の圧密沈下において、実測の圧密ひずみは推定式(1)による ϵ' に比べ非常に小さい値を示す。この傾向は密な砂杭ほど、また置換率の大きいものほど顕著である。すなわち、複合地盤の圧密沈下は粘土の特性よりも砂の応力 - ひずみ特性に多く依存しており、砂の ϵ ~ σ_m の関係及び粘土の e ~ $\log \sigma_m$ の関係を用いることによつて実験結果の各圧密段階終了時の粘土の間ヶキビを説明することができた。

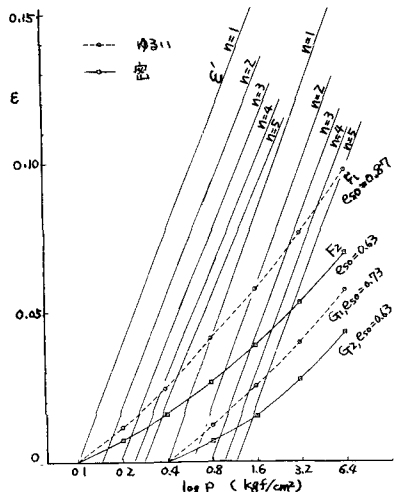


図-4 ϵ ~ P 関係及び E' ($\phi 4cm$)

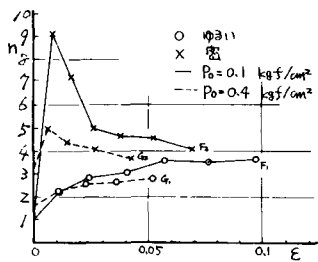


図-5 ϵ ~ n 関係 ($\phi 4cm$)

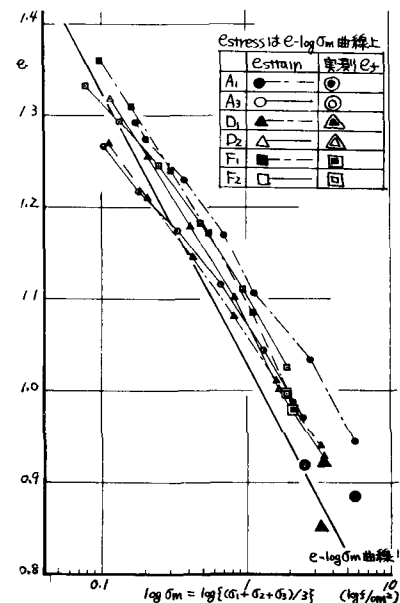


図-6 粘土の等方圧密における e ~ $\log \sigma_m$ 曲線と e_{stress} , e_{strain} 推定値及び実測値 e_f